

# Измерение плотности плазмы

Виноградов И.Д. Понур К.А. Шиков А.П.

Радиофизический факультет ННГУ, 430 группа

Нижний Новгород, 2018

## 1 Введение

- Цели работы
- Актуальность работы

## 2 Краткая теория

- Некоторые свойства плазмы
- Зонд с СВЧ-резонатором
- Генерация плазмы

## 3 Эксперимент

- Описание экспериментальной установки

## 4 Практическая часть

- Измерение концентрации плазмы
- Распад плазмы
- Зависимость на радиальной оси
- Выводы

- 1 ~~Получить зачёт по УНЭ.~~
- 2 Изучить принцип работы зонда с СВЧ-резонатором.
- 3 Измерить зависимость локальной концентрации плазмы от расстояния до центра генерации.
- 4 Изучить временную зависимость концентрации для распадающейся плазмы.

- 1 Изучение космического окружения Земли. Например, изучение ионосферы.
- 2 Современная астрофизика. Например, для предсказания хода эволюции галактик применялась кинетическая теория плазмы.
- 3 МГД-преобразование энергии и ионные двигатели.
- 4 Накачка газового лазера газовым разрядом.
- 5 Газоразрядные электронные приборы.

# Радиус Дебая

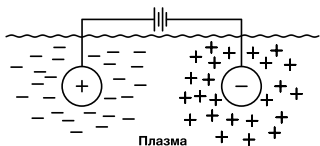


Рис.: Дебаевское экранирование

Предположим, что мы попытались создать электрическое поле внутри плазмы, поместив в неё два шарика, соединив их батарейкой. Рассмотрим пространство вокруг положительно заряженного иона.

Электрическое поле  $\vec{E}$  и плотность электрического заряда  $\rho$  связаны соотношением:

$$\operatorname{div} \vec{E} = 4\pi\rho \quad (1)$$

$$\Delta\varphi = -4\pi\rho, \Delta - \text{оператор Лапласа} \quad (2)$$

Распределение электронов, а значит, и их пространственного заряда  $\rho_e$  описывается формулой Больцмана:

$$\rho_e = Ne \cdot \exp\{-e\varphi/kT_e\}. \quad (3)$$

# Радиус Дебая (продолжение)

$$\frac{d^2\varphi}{dt^2} + \frac{2}{r} \frac{d\varphi}{dr} = -4\pi Ne \left[ 1 - e^{e\varphi/kT_e} \right] \quad (4)$$

При  $\frac{e\varphi}{kT_e} \ll 1$  можем разложить экспоненту в ряд и (4) станет линейным:

$$\frac{d^2\varphi}{dt^2} + \frac{2}{r} \frac{d\varphi}{dr} = \frac{1}{r_D^2} \varphi, \quad (5)$$

где  $r_D^2 = \frac{kT_e}{4\pi Ne^2}$ . Тогда, решение (5) имеет вид

$$\varphi = \frac{A_0}{r} \cdot e^{-r/r_D} \quad (6)$$

Решение уравнения (6) показывает, что поле иона убывает с расстоянием экспоненциально с характерной длиной, равной  $r_D$  – дебаевскому радиусу экранирования.

Плазму можно считать **квазинейтральной** в областях, размеры которых существенно превосходят дебаевскую длину.

# Плазменная частота

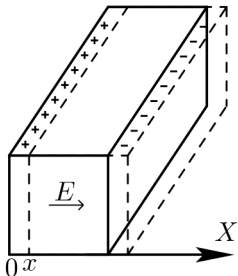


Рис.: Объем, занимаемый ионами обозначен сплошной линией, а электронами – пунктирной.

Уравнение (9) определяет плазменную частоту коллективных колебаний электронов:

$$\omega_p = \sqrt{\frac{4\pi N e^2}{m_e}} \quad (10)$$

Сместим все электроны на  $x$  относительно ионов. Тогда на гранях выделенного нами параллелепипеда возникнут поверхностные заряды:

$$\sigma = Nex, \quad (7)$$

где  $N$  – концентрация электронов

$$E = 4\pi\sigma = 4\pi Nex \quad (8)$$

Это поле действует на электроны, придавая им ускорение, равное

$$\frac{d^2x}{dt^2} = \frac{eE}{m_e} = \frac{4\pi Ne^2}{m_e} x \quad (9)$$

# Зонд с СВЧ-резонатором

Идея метода замера локальной плотности плазмы заключается в измерении собственной частоты резонатора, помещенного в неё.

$$\omega_{res} = \left( \frac{\pi}{2l} \right) \frac{c}{\sqrt{\varepsilon}}, \quad (11)$$

где  $\omega_{res}$  – собственная частота резонатора.

В плазме:

$$\varepsilon = \varepsilon(\omega) = 1 - \frac{\omega^2}{\omega_p^2}.$$

Тогда сдвиг резонансной частоты по сравнению с вакуумом:

$$\omega_{res}^2 = \omega_{0res}^2 + \omega_p^2,$$

где  $\omega_{0res}$  – собственная частота резонатора в вакууме, а  $\omega_p$  – плазменная частота

При этом концентрация однозначно связана с плазменной частотой:

$$N = \frac{m_e \omega_p^2}{4\pi e^2} \quad (12)$$



# Зонд с СВЧ-резонатором

В нашем случае резонатором является четвертьволновый отрезок двупроводной линии (четвертьволновый резонатор), замкнутый на одном конце и разомкнутый на другом.

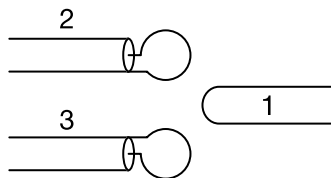


Рис.: Четвертьволновый резонатор

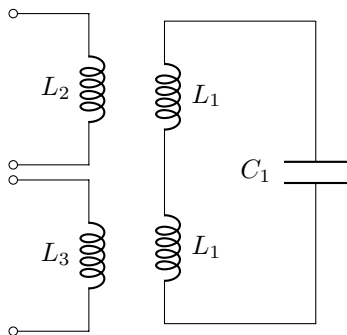


Рис.: Эквивалентная схема резонатора

# Недостатки зонда с СВЧ-резонатором

- 1** Контактный метод измерения приводит к возмущению некоторой области около зонда. Характерный размер такой области определяется дебаевским радиусом экранирования и, как правило, оказывается существенно меньше размеров плазменного объема.
- 2** Из-за индуктивной связи между возбуждающей и приёмной линиями зонда возникают сторонние токи в резонаторе.

# Преимущества зонда с СВЧ-резонатором

- 1 Позволяет определять локальное, слабозмущенное значение плотности плазмы.
- 2 В сравнении с ленгмюровскими зондами, результаты измерений с помощью зонда с СВЧ-резонатором не зависят от электронной температуры плазмы.

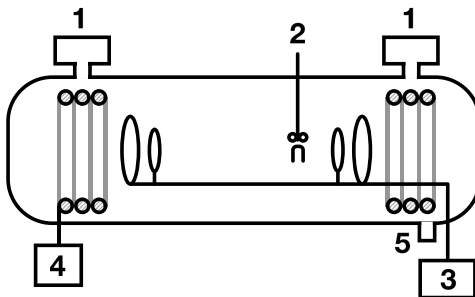
# Экспериментальная установка КРОТ

Размеры камеры: диаметр 3 м, длина 10 м.

Размеры соленоида: длина 3.5 м, диаметр 2 м.

Магнитное поле достигает величины  $B \approx 1000$  Эрстед.

Предельный вакуум, достигаемый в объеме камеры  $P = 3 \cdot 10^{-6}$  Торр.



**Рис.:** 1 - вакуумная откачка, 2 - зонд с СВЧ-резонатором, 3 - ВЧ-генератор, 4 - соленоид с источником магнитного поля, 5 - напуск рабочего газа.

# Генерация плазмы в КРОТе

Для генерации плазмы используется индукционный газовый разряд, осуществляемый при помощи высокочастотных вихревых электрических полей, создаваемых мощными катушками индуктивности, расположенными внутри установки.

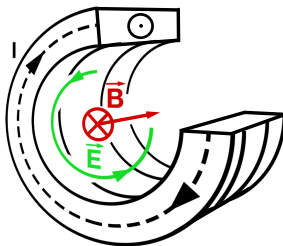
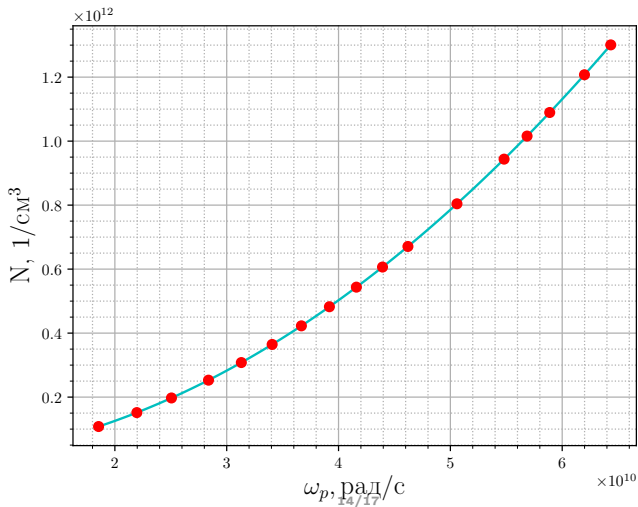


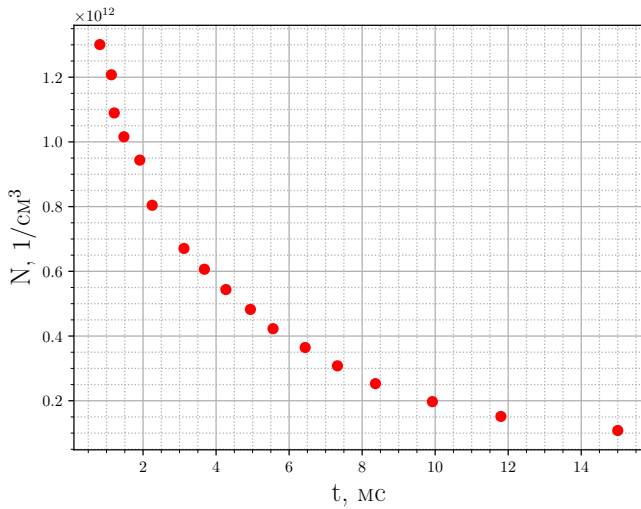
Рис.: Генерация ВЧ поля

# Измерение концентрации плазмы

Рабочий газ – аргон (Ag),  $P = 4 \cdot 10^{-1}$  Торр.

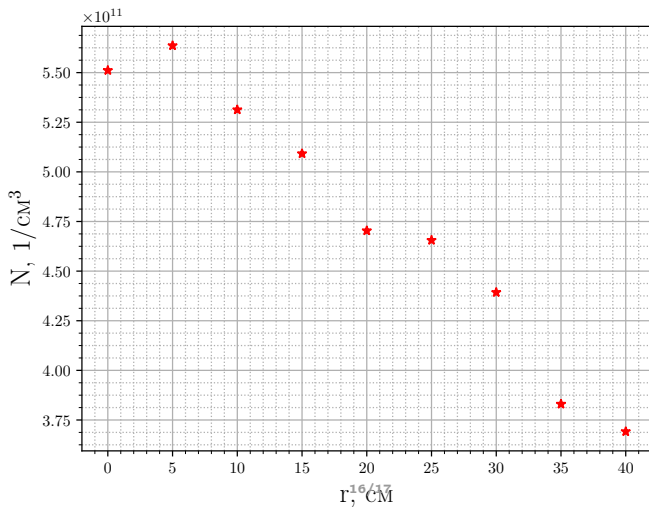


# Распад плазмы



# Зависимость на радиальной оси

Время после отключения ВЧ-генератора  $t = 4.13$  мс





- 1 Был изучен принцип работы зонда с СВЧ-резонатором
- 2 Была измерена локальная концентрация плазмы в зависимости от удалённости до её центра генерации
- 3 А также, снята временная зависимость концентрации для распадающейся плазмы